

# Времена перехода резонансно-туннельного диода между экстремальными точками гистерезисной вольт-амперной характеристики

© К.С. Гришаков, В.Ф. Елесин

Национальный исследовательский ядерный университет „МИФИ“,  
115409 Москва, Россия

E-mail: ksgrishakov@yahoo.com

(Получена 31 марта 2015 г. Принята к печати 25 января 2016 г.)

Впервые найдено численное решение задачи о переходных процессах в резонансно-туннельном диоде (РТД) при наличии гистерезиса вольт-амперной характеристики (ВАХ) в рамках когерентной модели (Шредингер–Пуассон) с ферми-распределением электронов. Детально изучены переходы из состояния с большим током в состояние с малым и наоборот, которые возможны благодаря гистерезису ВАХ и имеют важное практическое значение при использовании резонансно-туннельных диодов в качестве сверхбыстрых переключателей. Показано, что времена перехода для таких процессов, возникающие под действием малого напряжения, могут значительно превосходить характерное  $\hbar/\Gamma$ ,  $\Gamma$  — ширина резонансного уровня. Удалось впервые установить, что время перехода можно уменьшить до характерного  $\hbar/\Gamma$ , если приложить напряжение больше, чем  $V_c$ . Для рассмотренной в статье структуры РТД  $V_c \approx 0.01$  В.

## 1. Введение

Известно, что резонансно-туннельные диоды (РТД) могут быть использованы в качестве высокоскоростных приборов [1,2]. Но экспериментальное измерение характерных времен переходных процессов представляет большие трудности из-за их малой ожидаемой величины ( $10^{-12}$ – $10^{-13}$  с) и влияния побочных эффектов, типа паразитных емкостей, индуктивностей и т.д. Поэтому представляет интерес расчет характерных времен в зависимости от параметров РТД.

В ранних работах [1,2] для оценки использовались феноменологические модели, использующие эквивалентные схемы. Но РТД — это квантовый прибор и при его описании наиболее последовательной моделью является так называемая когерентная модель туннелирования, включающая систему нелинейных уравнений Шредингера и Пуассона с открытыми граничными условиями.

Переходные процессы в РТД в когерентной модели для реальной структуры барьеров и с ферми-распределением электронов ранее изучались в работах [3,4] с использованием компьютерного моделирования. В этих работах много внимания уделяется методике численного расчета и детальных исследований переходных процессов, при этом при наличии гистерезиса вольт-амперной характеристики (ВАХ) не приводилось. В работе [5] было найдено численное решение задачи о переходных процессах в РТД при наличии гистерезиса ВАХ. Однако использовалось приближение локального межэлектронного взаимодействия, т.е. вместо системы уравнений Шредингер–Пуассон решалось уравнение Шредингера с кубической нелинейностью (добавочный член  $g|\psi|^2\psi$ ), и задача решалась в упрощенной модели с моноэнергетическими электронами.

В работе [6] было найдено аналитически решение задачи о переходных процессах в РТД. Получены явные

выражения для переходного тока, возникающего под действием мгновенно прилаемого слабого электрического поля с потенциалом  $V_0$ . В отсутствие взаимодействия возникающий ток за характерное время, равное  $\hbar/\Gamma$  (время жизни электрона в квантовой яме), релаксирует к стационарному значению, совершая осцилляции с частотой  $\xi = E - E_R$ , где  $E$  — энергия поступающих из эмиттера электронов,  $E_R$  — энергия резонансного уровня. В квазиклассическом приближении был найден переходной ток при наличии межэлектронного взаимодействия. Было показано, что учет взаимодействия может существенно менять вид переходного тока, особенно при наличии гистерезиса ВАХ. Вблизи экстремальных значений ВАХ в области отрицательной дифференциальной проводимости частота осцилляций стремится к нулю и становится мнимой, компенсируя затухание. Таким образом, переходной ток релаксирует за очень большие времена без осцилляций.

Однако аналитическое решение [6] справедливо только в рамках теории возмущений для малых значений  $V_0$ . Так что оно описывает только начальный ход переходного процесса при гистерезисе ВАХ из состояния с большим током в состояние с малым или обратно.

Между тем этот переход представляет большой практический интерес, так как дает возможность сравнительно малым напряжением переводить РТД из состояния с большим током в состояние с малым за весьма короткие времена. Это было продемонстрировано в работе [7] с помощью численного решения в когерентной модели. Но в [6,7] использовалась идеализированная модель РТД, в которой предполагались электроны эмиттера — моноэнергетическими, а барьеры —  $\delta$ -образными.

Цель настоящей работы — численно найти времена перехода из состояния с большим током в состояние с малым и обратно для фермиевского распределения электронов и реальной структуры.

Статья построена следующим образом. В разд. 2 дается постановка задачи в рамках когерентной модели. Разд. 3 посвящен обсуждению стационарной гистерезисной ВАХ. Переходные токи в условиях гистерезиса изучены в разд. 4. В заключение проводится обсуждение полученных результатов.

## 2. Постановка задачи

Рассмотрим одномерную двухбарьерную наноструктуру (РТД), см. рис. 1. Слева ( $x \rightarrow -\infty$ ) из эмиттера, а также справа ( $x \rightarrow \infty$ ) из коллектора подводится стационарный поток электронов с энергиями  $\hbar^2 k^2 / 2m^*$  и энергией Ферми  $E_F$ . К структуре приложено напряжение, которое может мгновенно меняться, вызывая переходной процесс.

Волновая функция  $\psi_k(x, t)$  удовлетворяет уравнению Шредингера:

$$i\hbar \frac{\partial \psi_k(x, t)}{\partial t} = -\frac{\hbar^2}{2m^*} \frac{\partial^2 \psi_k(x, t)}{\partial x^2} + (\varphi(x, t) + V_{str}(x))\psi_k(x, t), \quad (1)$$

где  $V_{str}$  — потенциал структуры,  $m^*$  — эффективная масса электрона,  $\varphi(x, t)$  — потенциал межэлектронного взаимодействия, который находится из уравнения Пуассона:

$$\frac{\partial^2 \varphi(x, t)}{\partial x^2} = -\frac{e^2}{\varepsilon \varepsilon_0} n(x, t). \quad (2)$$

Здесь  $e$  — заряд электрона,  $\varepsilon$  — диэлектрическая проницаемость, а  $n(x, t)$  — концентрация электронов, определяемая как

$$n(x, t) = \int g(k) |\psi_k(x, t)|^2 dk, \quad (3)$$

$$g(k) = \frac{m^* k_B T}{2\pi^2 \hbar^2} \ln \left( 1 + \exp \left( \frac{E_F - \frac{\hbar^2 k^2}{2m^*}}{k_B T} \right) \right), \quad (4)$$

$g(k)$  — это функция распределения электронов, проинтегрированная по поперечному импульсу,  $k_B$  — постоянная Больцмана,  $k$  —  $X$ -компонента квазиимпульса электрона,  $T$  — температура.

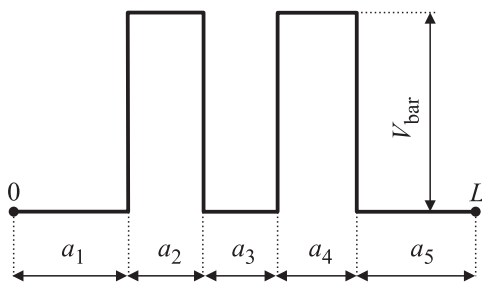


Рис. 1. Схема двухбарьерной наноструктуры РТД.

Ток РТД дается формулой

$$j(x, t) = \frac{e\hbar}{m^*} \int g(k) \operatorname{Im} \left( \psi_k^*(x, t) \frac{\partial \psi_k(x, t)}{\partial x} \right) dk. \quad (5)$$

Граничные условия для электронов, налетающих слева из эмиттера:

$$\psi_k(0, t) + \frac{1}{ik} \frac{\partial \psi_k(x, t)}{\partial x} \Big|_{x=0} = 2 \exp \left( -\frac{iEt}{\hbar} \right), \quad E = \frac{\hbar^2 k^2}{2m^*},$$

$$\psi_k(L, t) - \frac{1}{i\sqrt{k^2 - \frac{2m^*}{\hbar^2} \varphi(L, t)}} \frac{\partial \psi_k(x, t)}{\partial x} \Big|_{x=L} = 0.$$

Граничные условия для электронов, налетающих справа из коллектора:

$$\psi_k(0, t) + \frac{1}{i\sqrt{k^2 + \frac{2m^*}{\hbar^2} \varphi(L, t)}} \frac{\partial \psi_k(x, t)}{\partial x} \Big|_{x=0} = 0,$$

$$\psi_k(L, t) - \frac{1}{i|k|} \frac{\partial \psi_k(x, t)}{\partial x} \Big|_{x=L} = 2 \exp \left( -\frac{i \left( \frac{\hbar^2 k^2}{2m^*} + \varphi(L, t) \right) t}{\hbar} \right).$$

В данной работе вместо точных граничных условий для нестационарной задачи (см., например, [3,4]) использовались приближенные граничные условия, которые хорошо зарекомендовали себя на аналогичной задаче с моноэнергетическим распределением электронов [7], показав хорошее согласие с аналитическим решением [6]. Данный тип граничных условий проще в реализации и позволяет значительно сократить время компьютерных расчетов.

Параметры структуры аналогичны [3]:  $m^* = 0.067 m_e$  ( $m_e$  — масса электрона),  $T = 300$  К,  $E_F = 42$  мэВ, что соответствует концентрации донорных примесей  $10^{18}$  см $^{-3}$ ,  $E_{max} = E_F + 7k_B T$ ,  $\varepsilon = 11.44$ ,  $V_{bar} = 0.3$  эВ,  $a_1 = a_2 = a_3 = a_4 = 5$  нм,  $a_5 = 10$  нм. Также расчеты проводились для  $E_F = 12$  мэВ.

Для стационарной задачи граничные условия для уравнения Пуассона имеют вид

$$\varphi(0) = 0, \quad \varphi(L) = -eV_{dc}. \quad (6)$$

После мгновенного изменения напряжения на величину  $\Delta V$ , вызывающего нестационарный процесс, граничные условия принимают вид

$$\varphi(0) = 0, \quad \varphi(L) = -e(V_{dc} + \Delta V).$$

При численном решении нестационарной задачи использовалась разностная схема Крэнка–Николсона, а для ускорения самосогласованного решения нелинейной системы Шредингер–Пуассон использовался метод Гуммеля [3,4]. Шаг по времени  $dt = 10^{-15}$  с.

### 3. Стационарный случай. Вольт-амперные характеристики

Стационарное решение системы уравнений дает возможность найти зависимость тока  $J_0$  от напряжения  $V_{dc}$  (ВАХ) [см. рис. 2, *a* ( $E_F = 42$  мэВ) и рис. 2, *b* ( $E_F = 12$  мэВ)], а также концентрации электронов  $n(x)$  и потенциала  $\varphi(x) + V_{str}(x)$  от координаты [см. рис. 3 ( $E_F = 42$  мэВ,  $V_{dc} = V_{dc}^{(1)}$ )]. Параметры задачи подобраны так, чтобы реализовалась ВАХ с гистерезисом. При  $V_{dc}^{(1)}$  (точка срыва) решение с большим током исчезает, и появляется решение с малым током. При обратном ходе при напряжении  $V_{dc}^{(2)}$  нижнее решение исчезает и происходит переход в состояние с большим током. Для  $E_F = 42$  мэВ получаем  $V_{dc}^{(1)} = 0.2592$  В и  $V_{dc}^{(2)} = 0.2482$  В, а для  $E_F = 12$  мэВ получаем  $V_{dc}^{(1)} = 0.2376$  и  $V_{dc}^{(2)} = 0.2308$  В.

Соотношение токов в данной структуре при переключении из  $V_{dc}^{(1)}$  для  $E_F = 42$  мэВ равно 8.6 и 18 для  $E_F = 12$  мэВ; при переключении из  $V_{dc}^{(2)}$  — 7.9 для  $E_F = 42$  мэВ и 9.9 для  $E_F = 12$  мэВ. Однако можно добиться гораздо больших отношений.

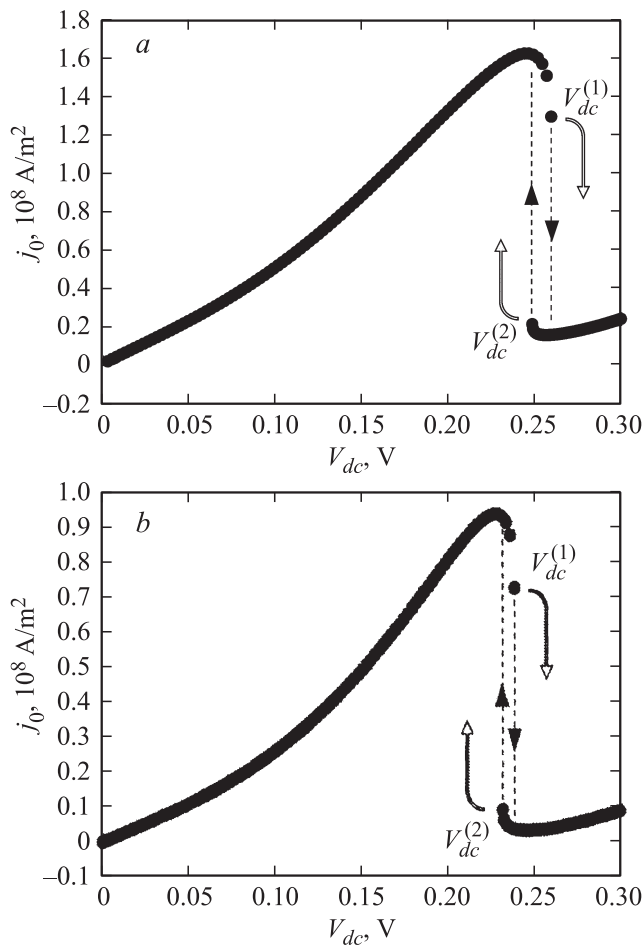


Рис. 2. Зависимость постоянного тока через РТД от напряжения: *a* —  $E_F = 42$  мэВ, *b* —  $E_F = 12$  мэВ.

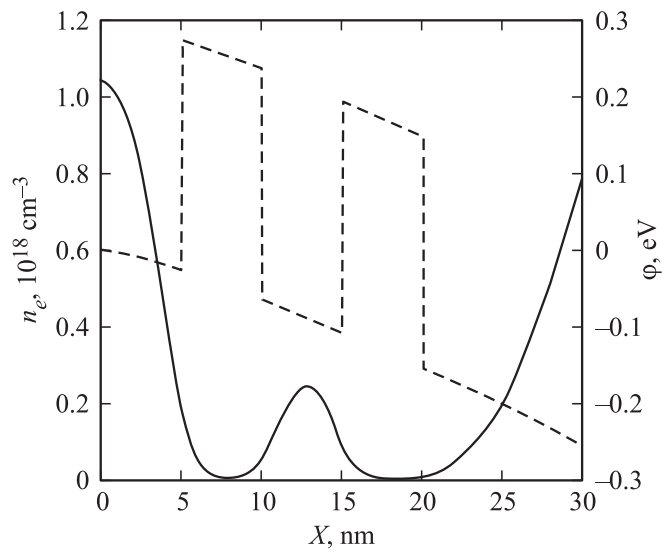


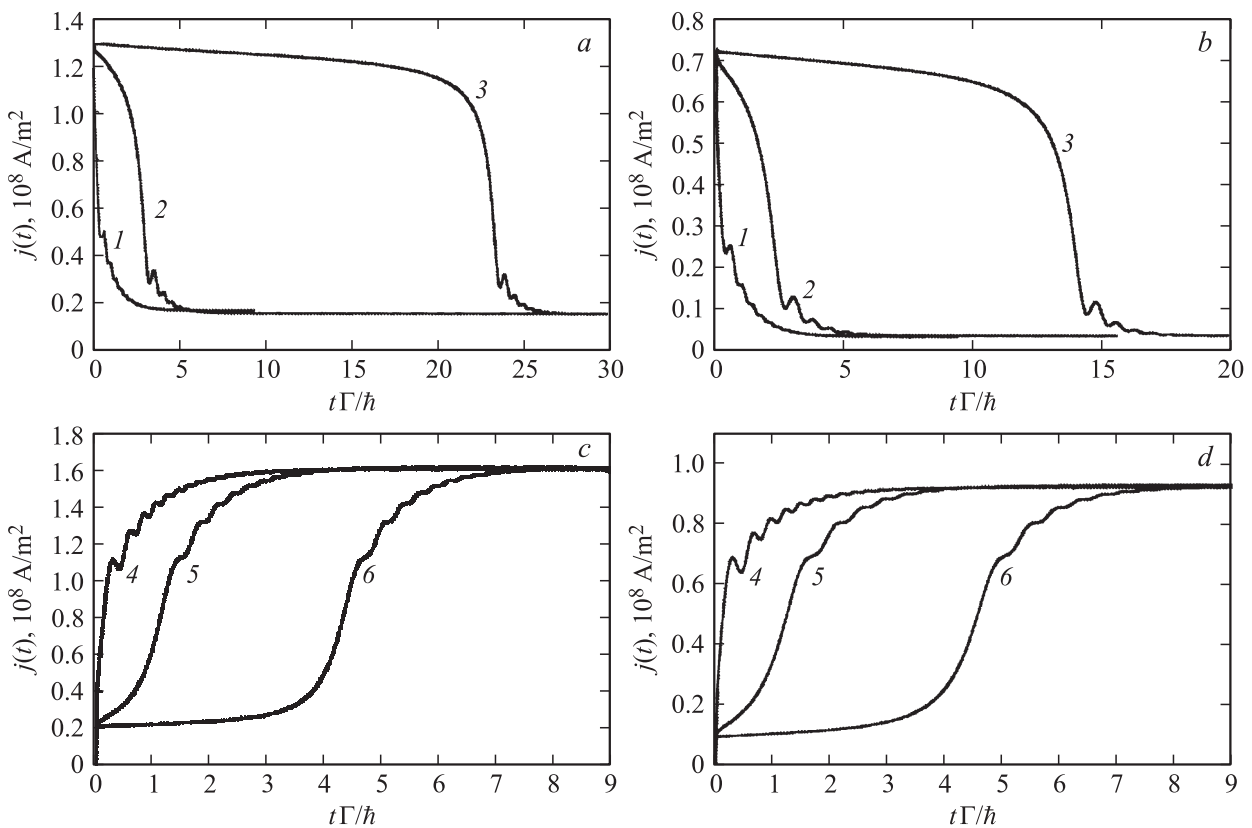
Рис. 3. Зависимость концентрации электронов (сплошная, левая ось  $Y$ ) и полного потенциала (пунктирная, правая ось  $Y$ ), который есть сумма потенциалов межэлектронного взаимодействия и структуры, от координаты:  $E_F = 42$  мэВ,  $V_{dc} = V_{dc}^{(1)}$ .

### 4. Переключение резонансно-туннельного диода из состояния с большим током в состояние с малым и наоборот

Характерным временем РТД является время жизни электрона в квантовой яме  $\tau = \hbar/\Gamma$ ,  $\Gamma$  — ширина уровня. Поэтому можно ожидать, что при  $V = V_{dc}^{(1)} + \Delta V$ , сколь угодно малом  $\Delta V \rightarrow 0$  РТД перейдет из состояния с большим током в состояние с малым током за время  $\tau$ . Однако, как было показано аналитически в работе [6], переходные процессы вблизи экстремальных точек ВАХ существенно замедляются. Причина состоит в следующем [6]: мгновенное включение напряжения  $\Delta V$  приводит к изменению потенциала  $\varphi$ . Это сдвигает резонансную энергию таким образом, что приход электронов за счет резонансного туннелирования увеличивается, компенсируя их уход. В [7] было продемонстрировано для моноэнергетических электронов, что время перехода может превосходить  $\tau$  в тысячи раз.

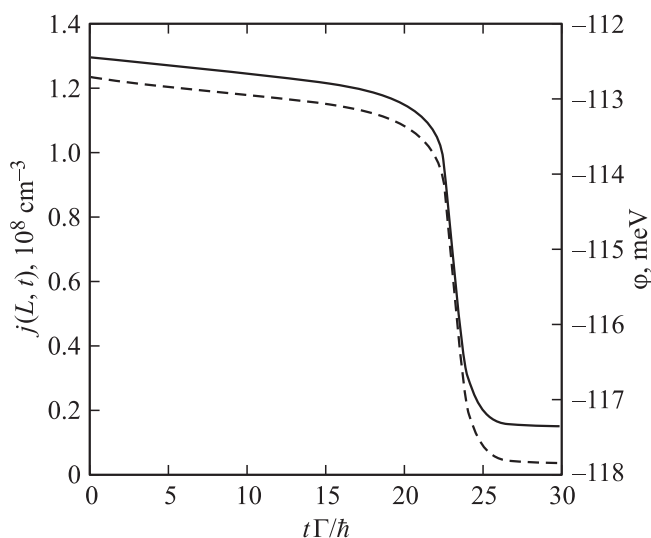
На рис. 4, *a* и *b* отложена зависимость среднего по координате переходного тока для  $E_F = 42$  и  $E_F = 12$  мэВ соответственно, вычисленная на основе решения нестационарной системы уравнений (1)–(2).

Рассмотрим случай, когда  $E_F = 42$  мэВ. Видно, что для малых скачков напряжения  $\Delta V = 0.1$  мВ времена перехода значительно превосходят характерное время  $\tau$  (в 25 раз), что качественно согласуется с результатами [6,7]. Увеличение  $\Delta V$  приводит к уменьшению времени перехода. Уже при  $\Delta V = 0.01$  В время становится сравнимым с  $\hbar/\Gamma$ . Аналогичные результаты получаются и при  $E_F = 12$  мэВ. Это связано с тем, что система



**Рис. 4.** Зависимость среднего значения переходного тока от времени при различных значениях мгновенно прикладываемого напряжения  $\Delta V$ : *a* —  $E_F = 42$  мэВ, переход из точки  $V_{dc}^{(1)}$ ; *b* —  $E_F = 12$  мэВ, переход из точки  $V_{dc}^{(1)}$ ; *c* —  $E_F = 42$  мэВ, переход из точки  $V_{dc}^{(2)}$ ; *d* —  $E_F = 12$  мэВ, переход из точки  $V_{dc}^{(2)}$ .

при  $\Delta V = 0.01$  В находится далеко от экстремальной точки ВАХ [7]. Следует отметить, что при  $\Delta V = 0.01$  В осцилляции тока практически исчезают.



**Рис. 5.** Зависимость переходного тока на правой границе расчетной области (сплошная, левая ось  $Y$ ) и потенциала межэлектронного взаимодействия (пунктирная, правая ось  $Y$ ) от времени:  $E_F = 42$  мэВ,  $\Delta V = 0.1$  мВ, переход из точки  $V_{dc}^{(1)}$ .

На рис. 4, *c* и *d* изображен переход РТД из состояния с малым током в состояние с большим при  $E_F = 42$  и  $E_F = 12$  мэВ соответственно. Эффект увеличения времени по сравнению с  $\tau$  при малых  $\Delta V$  также наблюдается. Времена перехода и их зависимость от  $\Delta V$  качественно аналогичны.

Численные расчеты показали, что характер зависимостей от времени среднего по координате потенциала межэлектронного взаимодействия и переходного тока на правой границе расчетной области одинаков и на этих зависимостях отсутствуют осцилляции (см. рис. 5, для  $\Delta V = 0.1$  мВ, переход из точки  $V_{dc}^{(1)}$ ).

### 5. Заключение

Как известно, при наличии гистерезиса ВАХ РТД при напряжении, большем некоторого значения  $V_{dc}^{(1)}$  (см. рис. 2), решение с большим током исчезает, и РТД переходит в состояние с малым током. Можно было ожидать, что приложение сколь угодно малой добавки  $\Delta V$  приведет к переходу за характерное время  $\hbar/\Gamma$  (время жизни электрона в квантовой яме,  $\Gamma$  — ширина резонансного уровня). Однако, как показано в работах [6,7], при  $\Delta V \rightarrow 0$  времена перехода могут

превосходить характерное время в тысячи раз. Причина состоит в следующем [6]. Мгновенное включение напряжения  $\Delta V$  приводит к изменению потенциала  $\bar{\varphi}$ . Это сдвигает резонансную энергию таким образом, что приход электронов за счет резонансного туннелирования увеличивается, компенсируя их уход. При большом  $\Delta V$  система в начальный момент находится далеко от экстремальной точки ВАХ и время перехода уменьшается до характерного времени  $\hbar/\Gamma$ .

Однако эти результаты были получены в [6,7] для идеализированной модели с моноэнергетическими электронами, налетающими из эмиттера. В настоящей работе использовалась реалистичная модель с фермиевским распределением электронов и реальной структурой барьеров. Хотя качественно результаты аналогичны, удалось количественно найти реальные значения полей, при которых времена переключения достигают предельных значений  $\hbar/\Gamma$ . Для используемых параметров структуры это напряжение составляет 0.01 В, время переключения порядка  $10^{-12}$  с. Скачок токов для данной структуры равен 7.9–18. Времена переключений можно уменьшить до  $10^{-13}$  с, увеличивая барьеры.

Таким образом, РТД представляет значительный интерес в качестве сверхбыстрого переключателя, тем более что малый ток можно сделать незначительным.

## Список литературы

- [1] S.K.Diamond, E. Özbay, M.J.W. Rodwell, D.M. Bloom, Y.C. Pao, J.S. Harris. *Appl. Phys. Lett.*, **54** (2), 153 (1989).
- [2] H.C. Liu, D.D. Coon. *Appl. Phys. Lett.*, **50**, 1246 (1987).
- [3] O. Pinaud. *J. Appl. Phys.*, **92** (4), 1987 (2002).
- [4] J.F. Mennemann, A. Jungel, H. Kosina. *J. Comp. Phys.*, **239**, 187 (2013).
- [5] В.Ф. Елесин, И.Ю. Катеев, А.Ю. Сукочев. *Российские нанотехнологии*, **8** (3-4), 60 (2013).
- [6] В.Ф. Елесин. *ЖЭТФ*, **145** (6), 1078 (2014).
- [7] К.С. Гришаков, В.Ф. Елесин. *Российские нанотехнологии*, **10** (5-6), 102 (2015).

Редактор Г.А. Оганесян

## Resonant tunneling diode transit times between extremal points of hysteresis voltage-current characteristic

K.S. Grishakov, V.F. Elesin

National Research Nuclear University,  
115409 Moscow, Russia

**Abstract** A numerical solution to the problem on transient processes in the resonant tunneling diode (RTD) in the presence of hysteresis current-voltage characteristics (CVC) is found in terms of a coherent model (Schrödinger–Poisson) with the Fermi distribution of electrons. The transitions from states with large current to a state with low and vice versa is studied in detail. These transitions are possible because of the hysteresis CVC, and have a great practical importance for using RTD as ultrafast switches. It is shown that the transit times for such processes due to the action of a small voltage can significantly exceed the characteristic  $\hbar/\Gamma$ ,  $\Gamma$  — the width of the resonance level. It is proven that the transition time can be reduced to the characteristic  $\hbar/\Gamma$ , if a voltage greater than  $V_c$ . For RTD structure considered in the article  $V_c \approx 0.01$  V.